

蘭州醫學院論文集

1964. 12.

目 录

- 对神經細胞中核仁伸出的一些觀察 侯家驥、劉志勳 (1)
左肺上葉的支氣管和血管 裴正禮 (10)
中藥無機化學成分的研究 (I)
 牡蠣、魁蛤、石決明、珠母和紫貝的化學成分 馮明 (23)
 致成皮炎的一種革蠣 (拔氏禽刺蠣 *Ornithonyssus bacoti*)
 于繼崗、田易疇、馬如昇 (29)
甘肅中藥赤芍原植物的鑑定 趙汝龍 (33)
24例肝包虫囊肿病的超声波診斷 陳化民、技術協助于麗芳 (40)
輸精管結紮術200例臨床分析 史成禮、劉國棟、王明照 (46)
應用洋地黃類藥物搶救嬰兒心血管型重症肺炎55例臨床分析
 張克信、高履助、龔業純、劉希賢、賈吉林 (51)
3032例骨外傷的X線分析
 張令翔、郭景岳、王均宏、李樹芹、路煥光 (56)
蘭州傷寒與付傷寒1034例臨床分析
 劉逢舉、張益人、張汝翼、張之清 (65)
過敏性紫癜引起的腸套迭三例報告
 李旭東、史成禮、尹良培、張祥生 (78)
食曼陀蘿中毒三例報告 宋煥章、趙懷玉 (81)
中藥治癒尖圭湿疣兩例報告 李克仁、郝湘蓉 (84)
妊娠期急症闌尾炎 (附30例分析) 賈金章、林暢榮 (86)
先天性頸椎裂合併自發性寰椎脫位 (附一例報告)
 王學禮、馮守誠、沙鵬圖 (94)
慢性骨髓炎竇道引起之上皮癌 (附二例報告)
 賈金章、馮守誠 (96)
80例酒精硫噴妥鈉靜脈麻醉的臨床應用 斯嶺 (102)
脊柱麻醉2150例之初步分析
 陳世謀、馬麗華、斯嶺、張水魚、吳慧智、董曼莉、張良駿 (108)
麻痺誘導 王志遠、田貴祥 (117)

技术革新

一种自制的光密度計 姚侃 (122)

对神經細胞中核仁冲出的一些觀察

侯家驥 刘志勳

組織学与胚胎学教研組

核仁由核冲出的现象，多年来虽有一些学者进行过描述，但有关此一問題的专门文献报告为数不多。根据Gates (1942) 氏的意见，核仁冲出最早是由Lubbock (1861) 在土蚣 (Geophilus) 卵內发现的⁽¹⁾。以后不少学者又在不同动物的卵內看到过这种现象 (Balbiani, 1883; Calderwood, 1892; Hogben, 1920; Gatenby, 1922; Gardiner, 1929; Subramanian, 1935; Oka, 1940; Duryee及Dodson, 1953等) ^{(1), (2)}。最近，Gresson与 Threadgold (1962) 又用电子显微鏡証实了一种蜚蠊 (Blatta orientalis) 在卵发生时，有核仁物质冲入胞浆的情况⁽³⁾。至于卵細胞以外的其他細胞的核仁冲出，也有一些報告 (Lewis, 1922; 内皮細胞; Ludford, 1925; 副睪; Hett, 1937; 粒黃体細胞; 馬秀权, 1959; 脑垂体等) ^{(1), (4)}，但同样为数較少。

至于神經細胞內的核仁冲出，则除我国馬秀权氏在脊神經節細胞內发现以外 (1958) ⁽⁵⁾，尚未见到过更多的報告。Geiger (1953) 曾在組織培养下的人，猴与兔的大脑皮質的神經細胞中，看到过核仁物质进入胞浆的情况⁽⁶⁾，但未发现核仁整体冲出。Coujard与Maillet (1960) 发现，在交感神經節內，胶質性的卫星細胞在轉变成为神經節細胞的过程中，核仁可冲入胞浆⁽⁷⁾。1960年，我們曾在人的脊神經節細胞中发现核仁整体冲出。为了証实此一現象究为神經細胞中常见的过程，抑为偶然出现，我們进行了一些观察。

材 料 与 方 法

用人 (男性4例，其中幼儿一例)、狗 (♂3例)、猴 (♀一例)、及大白鼠 (♂4例) 的脊神經節做为普遍观察的材料，并选用下列器官一併观察：三叉神經節 (大白鼠1例)、小脑 (人与大白鼠各2例)、大脑 (人与大白鼠各2例)、迷走神經結状节与下頸节 (人1例、狗2例) 以及脊髓 (人、狗与大白鼠各2例)。上述材料大部分用10% Formalin，少部分用Zenker, Susa与Carnoy等液分別固定，常规石蜡色埋。切片厚6—8 μ，除少数材料外，一般未連續切片。切片大多数用苏木紫、伊紅染色；少部分用Heidenhain氏鐵矾苏木紫或Mallory氏染色；另有少部分用1% 沙黃 (Saffranin) 水溶液复染。此外，将用Carnoy氏液固定的大白鼠料材，以Unna氏甲綠一派若宁法显示核仁的RNA⁽⁸⁾，做为示范与对照。

为求得判断正确起见，我們在进行观察时还規定了下列确定核仁及其冲出的标准与前提：①形状規則 (圆形或近似圆形) 有較清楚的輪廓；②染色較偏嗜酸性並有較強的

折光性；③內部結構均勻一致，或內部有空泡而泡間的密度仍為均質狀；④為核內最觸目的結構，其大小雖不一致，但一般應小於神經細胞周圍的膠質細胞核。凡確定核仁衝出時，除符合上述情況的絕大部分外，須在視野中能清楚地看到該細胞的核膜。此外，在Unna氏法顯示RNA的標本中，核仁為嗜酸性，呈桃紅色。為了能初步了解核仁衝出的出現率，對脊神經節做了簡單統計，凡在某一切片中能看到核仁的細胞均計數，然後計算其中有核仁衝出的細胞所占的百分比。核仁貼向核膜者不計入，但衝出一半者算入。對脊神經以外的材料由於核仁衝出現象較少，細胞也比較分散，故未進行統計。

觀 察

(一) 神經節

在所進行觀察的大部分切片中，都能看到神經節細胞中有核仁整體衝出現象，並可追查到衝出的不同階段：有些細胞的核仁恰貼在核膜內面，其貼核膜的一面或變偏而與核膜的曲度相適應，或仍保持球狀而使貼附處的核膜突出；也有些細胞的核仁恰處於一半穿出核膜而另一半仍位於核內的階段（圖1）；另一些則在距核遠近不等的胞漿中。

我們對人與每一種動物的脊神經節各統計了十張任選切片，其核仁衝出的百分比為：人（861：39）占4.53%；大白鼠（592：17）占2.87%；猴（1581：30）占1.89%；狗（803：13）占1.61%。平均（3837：99）為2.58%。此一比率與馬秀权氏對兔的觀察所得（2.8%）相接近⁽⁵⁾。

在所觀察的各種材料中，核仁衝出的方式可大致劃分成以下幾種類型：

(1) 單核仁衝出：只有一個核仁衝出，衝出後核內一般不再有核仁。此種形式最常見。衝出後的核仁距核遠近不等，一般均在核附近；也可見到位於核膜和胞膜之間的地帶（圖2）；但少見有達到胞漿周圍區域者。

核仁衝出後一般仍保持如常的形態特徵，但少數的染色變淺；也有少數外形變為不規則，而且有崩解成為許多小球狀物的現象（圖3），以致難于完全肯定它是衝出的核仁。

少數細胞的核仁衝出後，其核內可見到有一大小和形狀和衝出的核仁相似的空白區，此處無染色質，似為原來核仁未衝出前所佔據的位置。在極個別細胞中還可見到空白區呈隧道狀，其直徑與核仁的大小相當（圖4）。

(2) 双核仁衝出：此種形式較少見，可能由於衝出的雙核仁，在一個切面中同時出現的機會較少之故。在我們所看到的個別細胞中，衝出的兩個核仁先後排列在和核膜相垂直的方向上，遠核側的一個核仁比近核側者略小，而且受色較淺，似處於消融狀態中（圖5）。然而我們也發現個別具有雙核仁的細胞，其核仁分別貼向核的兩端，有些甚至從相反方向的兩端分別衝出核外（圖6）。

(3) 双核仁（或多核仁）之中的一個（或兩個）核仁衝出：凡具有雙核仁或多核仁的神經節細胞，其核仁均小於單核仁者。雙核仁或多核仁中的一個核仁衝出時，仍然留在核內的核仁或位於核中央，或朝核仁衝出的一側貼近核膜。在後一種情況下，衝出的核仁很象是從核內的核仁分離出來的（圖7，18）。實際上，我們也確實看到過核仁分

裂，然后再冲出的情况，在少数細胞中，处于分裂的核仁一大一小（或大小相似），两者仍然連續，較小的一个貼向核膜，並將核膜頂出，似将冲出（图8，9）；在另一些細胞中，分裂后的核仁已冲出核外，而且可籍一細絲与核內的核仁互相連系（图10,11）。此种裂分后冲出的核仁一般較小，受色也較浅。此外，我們还看到如下情况：核外有一冲出的核仁，核內又同时存在一个嗜酸性着色的小球状物，其結構和正常核仁相似，只是体积很小，甚似由核內重新形成的新核仁（图12）。

上述各种方式的核仁冲出，绝大部分可以在Unna氏染色法的标本中看到。但是，由于此种切片內神經細胞的尼氏（Nissl）物質和核仁同样受染成桃紅色，因此冲出后的核仁易于和胞浆內的Nissl氏体相混淆，有时較难分辨。前述統計中，未利用此种标本。

核仁冲出似无一定的方向。不过常可在同一切片中看到，核仁常朝大致相同的一側冲出。然而也有一些是处于不同的方向，甚致两个相鄰近的細胞，其核仁冲出的方向相反（图13，14）。为了检查前一种情况是否人工所产生，我用一个幼儿的神經节（包括交感节）按如下方式处理后进行观察，①取材后将标本粘貼于玻璃片上，然后投入Susa液內，使之尽可能达到单方向的浸透固定；②切片时将蜡块間断地調換方位。經過这样处理的切片中，神經細胞內的核仁冲出方向和固定液穿透方向及切片方向之間，並无肯定的关系。虽然不少細胞的核仁冲出方向和蜡块被切方向相一致，但也有些細胞中冲出方向与切片方向无关甚或相反。

在觀察中还常见到核仁周围貼附有嗜硷性的小顆粒，其形态与着色和核內其他染色质顆粒无異。此种顆粒可随核仁一齐冲出。有时还能看到在冲出的核仁的近核一側，散布着此种顆粒，甚似冲出时散落于沿途者（图2）。

在交感节中所看到的核仁冲出和上述情况相似，但其出現的数量少于脊神經节中者（图15）。

（二）大脑、小脑与脊髓

在所觀察的人与大白鼠的大脑中央前迴与頂区的皮質中，核仁冲出现象大大少于脊神經节中者。常在檢查数张切片的数百个細胞后，才能在少数几个錐体細胞中看到核仁冲出，而且多半处于穿过核膜的阶段，很少有冲出距离較远者（图16，17）。核仁貼近核膜的情况較多见，但双核仁的細胞很少。Unna氏染色的标本中也有相同的情况。

在所检查的小脑Purkinje氏細胞中，比大脑中容易看到核仁冲出现象，但仍少于脊神經节者。冲出的形式也和在脊神經节中所见到的情况相似（图18，19）。

脊髓的神經細胞中极少见有核仁冲出现象，在所觀察的材料中只是偶而发现（图20，21）。

討 論

以往学者对核仁冲出现象的報告，多半偏重于卵細胞方面。Gates（1942）曾較詳尽地复习与闡述了有关这方面的文献，並說明大部分学者解释卵內核仁冲出的意义是“和卵黃的形成有关”⁽¹⁾。Gresson与Threadgold（1962）对核仁物质冲出的电子显微鏡研究及对RNA的觀察結果，也同样被認為是“与卵黃的产生和細胞的生长有关”⁽³⁾。

Gates还引述了另外一些学者的研究，如Ludford (1924) 在研究馬的黑色素形成(Melanosis)时曾发现有核仁冲出现象；另一些人则认为核仁与卵内脂滴的产生有关。除在卵细胞中曾较广泛地发现核仁冲出外，对其他种细胞的观察不多，而且Lewis (1922) 还认为，他所看到的体外培养的内皮细胞中的核仁冲出是一种病理过程⁽¹⁾。

我們的观察虽然还不很系統，但核仁冲出几乎可见于所有材料中，因此有其广泛性。由于我們曾确定了一些对核仁及其冲出现象的形态学指标，并对核仁做了RNA染色，所以不致有判断的錯誤。虽然未能看到神經細胞中核仁冲出的連續過程，然而就切片中所见的不同片断，尙能說明冲出的基本情况。

由于在观察中发现过一些值得疑为人工造成的现象，特別是关于核仁有朝相同方向冲出的趋向的問題，为此，我們对某些标本做了特殊处理。但是，由于我們在观察中看到，①冲出方向不同甚致相反的細胞可存在于同一切片中；而且②同一細胞中的两个核仁可朝相反方向冲出核外；加之③某些现象（如核仁分裂后，其中一个核仁冲出，並可看到两者仍然連續）很难由人工造成；再者，④在經過特別处理的切片中，未能証实核仁冲出与固定和切面方向之間的肯定关系，所以我們認為，在神經細胞中所看到的核仁冲出是一种比較广泛的自发过程，而不能看做是人为现象。固然，由統計可见，脊神經节內核仁冲出的百分比不算低，加之冲出有朝一致方向的情况，而且在切片中可看到冲出的痕迹存在（如空白区与“隧道”），應該考慮到是否所看到的现象全部是自发的抑或其中有一部分人为现象。由于我們未做涂抹标本，尙难完全排除部分人工因素（即切片时的推挤）的可能。不过，根据馬秀权氏对家兔脊神經节（包括有涂抹标本）的报告来看，则与我們所得的統計數相近⁽⁵⁾，再加从我們的观察中所得的上述諸点，使我們确信神經細胞的核仁冲出是实际存在的。最低限度可以說，我們在切片中所看到的核仁冲出，大部分是真實情況。

根据我們所取的材料（动物标本均为死亡后不超过两小时的新鮮材料，人的标本取自猝死者，只一例幼儿为外伤致死）以及对标本的一般結構和对細胞的形态学鑑定來看，並未发现異常或病变，加之我們所看到的核仁冲出广泛出现于人及所观察的动物的各种材料中，因此，也很难将神經細胞中的核仁冲出，看做是病理过程。

核仁冲出涉及核—漿物質交換問題。Caspersson (1941) 認为，核仁可控制並提供胞漿蛋白質的合成⁽⁹⁾。此一理論虽被不少学者的研究所証实（Vincent, 1955; Hamerling等, 1953; Fischberg与Wallace, 1960）^{(2), (10)}，但也受到很多實驗工作的批評和懷疑（Sirlin, 1960; Swift, 1956; Perry与Errera, 1960）^{(11), (12), (13)}。有些苏联学者对腺細胞的核仁变化做了观察，並发现黃体細胞中RNA直接由核仁传入胞漿（Чернобаева, 1960; Далмане, 1960）^{(14), (15)}。最近，还有人在小麦的壯苗中发现核仁冲出，認為这与細胞內的物質代謝有关（簡令成, 1962）⁽¹⁶⁾。馬秀权氏認為，垂体前叶細胞內的核仁外移与細胞的分泌有关（1959）。这些設想值得引起重視，

神經細胞內核仁的作用可能和Nissl氏物質的产生有关⁽¹⁷⁾。Lindsay与Bair (1958) 曾发现，舌下神經元中的Nissl氏物質在人工退变后的恢复期內，核仁膨大⁽¹⁸⁾。Geiger (1958) 在組織培养的神經細胞中发现核仁物質可进入胞漿⁽⁷⁾。Coujard 与 Maillet (

1960)发现，卫星細胞能轉变成交感神經节細胞，並可在此时看到核仁冲出，从而提供Nissl氏物質的制成⁽⁶⁾。我們認為，神經細胞中的核仁冲出，可看做是一种核—漿間物質交換的形式。虽然我們的觀察並未发现核仁冲出和Nissl氏物質的形成之間的关系，但是，我們設想，核仁冲出可能与神經細胞內蛋白質的合成有关。这方面有待于进一步的研究。

小 結

(1) 本文报告了人、狗、猴与大白鼠神經細胞中有广泛的核仁冲出现象。从形态学的表现来看，核仁冲出可分为：单核仁冲出、双核仁冲出及多核仁之中的一个(或两个)核仁冲出。

(2) 核仁冲出现象以脊神經节細胞中为最多见(平均为2.58%)，植物性神經节、小脑皮質的Purkinje氏細胞和大脑皮質的神經細胞中次之，脊髓的神經細胞中則很少见。

(3) 核仁冲出是神經細胞中的一种自发的现象，它可能和細胞的蛋白質合成机能有关。

參 考 文 獻

(1) Cates, R. R.: Nucleolar extrusion in animal cells—A paragraph in "Nucleoli and related structures", Botan. Rev. 8 (6): 337—409, 1942,

(2) Vincint, M.S.: Structure and chemistry of nucleoli, Internat. Rev. Cytol. 4: 269—298, 1955,

(3) Gresson, R.A.R., & Threadgold, I.T.: Extrusion of nuclear material during oogenesis in Blatta orientalis. Quart. J. Micr. Sci. 103 (2): 141—145, 1962,

(4) 馬秀权、王浩：哺乳类动物脑垂体前叶細胞核仁外移及其进入血竇中的觀察。動物學報, 11 (2): 264—269, 1959,

(5) 馬秀权：家兔脊神經节中神經細胞核仁外移現象的觀察，科學記錄，2: 37—42, 1958。

(6) Coujard, R., & Maillet, M.: Differentiation of sympathetic ganglion cells in the adult. Z. Mikr. Anat. Forsch., 66: 462—469, 1960 (Abstract in the Excerpta Medica, Sec. 1, 16 (5): 412, 1962,

(7) Geiger, R.S.: Subcultures of adult mammalian brain cortex in vitro. Exp Cell Res., 14 (3): 541—566, 1958,

(8) Lillie, R. D.: "Histopathologic Technic and Practical Histochemistry". Blakiston, New York, PP.133—135, 1954,

(9) Caspersson, T.: "Cell Growth and Cell Function." Norton, New York 1950,

- (10) Fischberg, M. & Wallace H.: A mutation which reduces nucleolar number in *Xenopus laevis*, in "The cell Nucleus", Butterworths, London, PP.30—34, 1960,
- (11) Sirlin, J.L.: Facts and speculation on the function of nuclear components. *Ibid.*, PP. 35—48, 1960,
- (12) Perry, M.P., & Errera, M.: The influence of nucleolar ribonucleic acid on that of the nucleus and cytoplasm. *Ibid.*, PP. 24—29, 1960,
- (13) Swift, H., Rebhun, I., Rasch, E., & Woodard, J.: The cytology of nuclear RNA, in Rudnick, D.: "Cellular Mechanism in differentiation and Growth". Princeton Univ. Press, New Jersey, PP. 45—59, 1956,
- (14) Ченобаева, И.Д.: К вопросу о морфологических изменениях вядрах клеток кэкзокринной части поджелудочной железы при секреции. Сб. "Вопросы Цитологии, Гистологии и Эмбриологии". Изд. Акад. Наук. Латв. ССР., Рига, 1960,
- (15) Далмане, А.Р.: О роли ядра в секреторном процессе в клетках Желтого тела белой мыши. Сб. "Вопросы Цитологии, Гистологии и Эмбриологии". Изд. Акад. Наук. Латв. ССР., Рига, 1960,
- (16) 簡令成: 小麦壮苗与黃弱苗的細胞学比較观察, 植物学报, 10(2):91—102, 1962,
- (17) Greep, R.O.: "Histology", Blakiston, New York, P.211, 1943,
- (18) Lindsay, H.A., & Barr, M.L.: Further observations on the behaviour of nuclear structures during depletion and restoration of Nissl material. *J. Anat. (London)*, 89 (1): 47—62, 1955,

圖 片 說 明

图 1、猴的脊神經節。箭头所指的两个細胞，其核仁冲出一半，尚未全脫离核膜。H.E. 染色，400×

图 2、人的脊神經節。核仁冲出到达核膜与胞膜之間的地位。注意核仁的近核側有嗜硃性着色的小顆粒（呈紫色），可能是随核仁一同冲入胞漿的染色質。H.E, 800×

图 3、人的脊神經節。核左方为一冲出后呈现崩解的核仁，其着色变浅（淡粉紅色）。800×

图 4、大白鼠的脊神經節。图左侧一个細胞的核仁冲出。注意核仁近核側及核內有空白区。鉄矾苏木紫染色。600×

图 5、人的脊神經節，示双核仁冲出。注意远核側的核仁着色变浅，似处于消融状态。H.E, 800×

图 6、大白鼠的脊神經節。箭头所指的細胞中，双核仁分別由核的相反两端冲出。Unna氏甲綠一派若宁染色，600×

图 7、大白鼠的脊神經節，示双核仁之中的一个核仁冲出。鉄矾 苏木染色，800×

图 8、人的脊神經節，示核仁向下方分出一較小的核仁，突向核膜，此处核膜也略突出並变薄。H.E, 800×

图 9、人的脊神經節，示核仁分裂。H.E, 800×

图10、11、人的脊神經節，示核仁分裂后又冲出。注意核内外两核仁仍相连，冲出的核仁着色变浅。H.E, 400×与800×

图12、人的脊神經節，示核仁冲出后核內又出现“新”的小核仁（紅色）。H.E, 800×

图13、大出鼠的三叉神經節。箭头所指各細胞的核仁冲出，方向不同。H.E, 800×

图14、大白鼠的脊神經節。箭头所指各細胞的核仁冲出方向不同。H.E, 400×

图15、狗的頸下交感神經節，示核仁冲出。H.E, 800×

图16、大白鼠大脑頂区皮質的錐体細胞。箭头所指处为核仁冲出。H.E, 800×

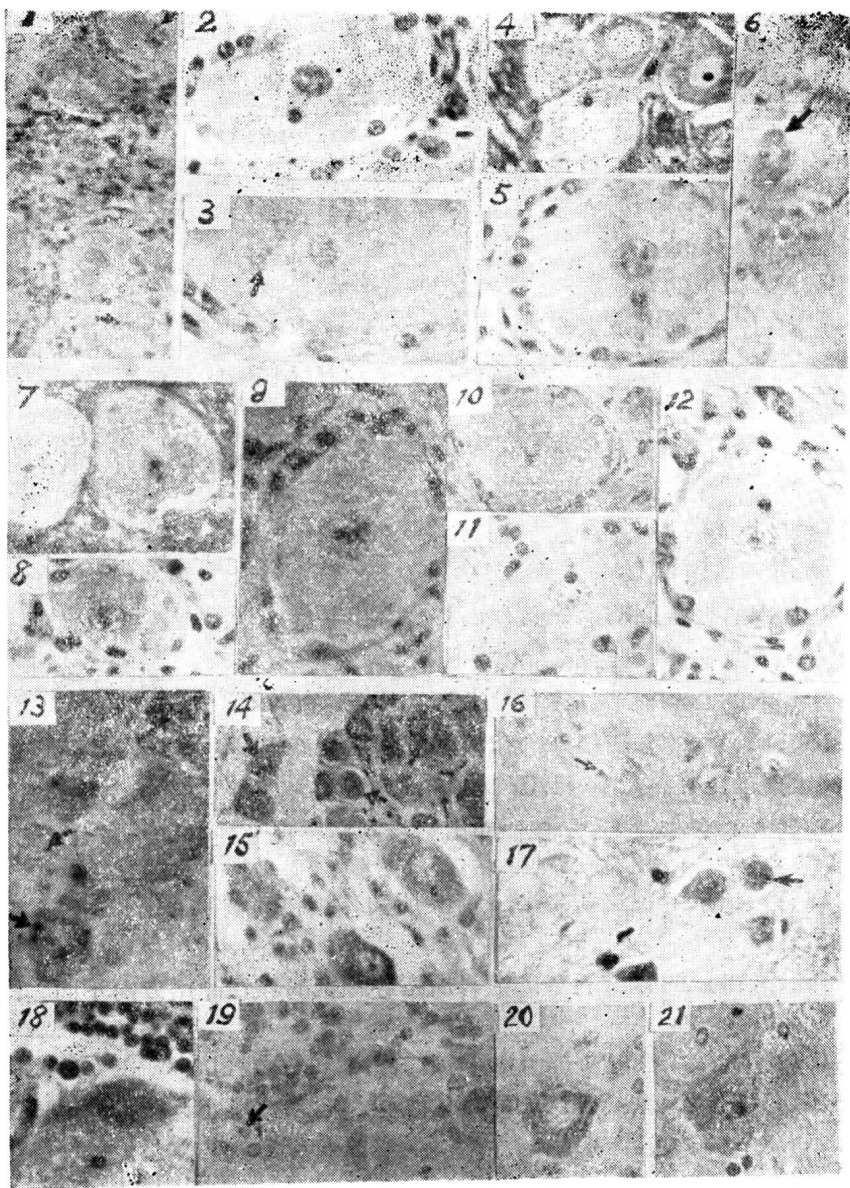
图17、人大脑中央前迴皮質深层的錐体細胞。箭头所指的細胞有核仁冲出。H.E, 800×

图18、人小脑皮質的 Purkinje 氏細胞，示双核仁之中的一個核仁冲出。H.E, 800×

图19、大白鼠小脑中的Purkinje氏細胞，箭头示核仁冲出。Unna氏甲綠一派若宁染色，800×

图20、大白鼠脊髓的前角細胞，示核仁冲出。Unna, 800×

图21、狗脊髓的前角細胞，示核仁冲出。H.E, 800×



SOME OBSERVATIONS ON THE NUCLEOLAR EXTRUSION IN NERVE CELLS

Department of Histology and Embryology,

Hou Chia-Chi

Liu Chih-Hsun

Extrusions of nucleoli were observed in the nerve cells of various mammals including albino rats, dogs, monkey and men. This phenomenon was seen more frequently in the spinal ganglion and to a lesser degree in the cerebellar cortex (Purkinje cells), cerebral cortex and sympathetic ganglia, while in the spinal cord it is rarely shown. 10 sections of spinal ganglia in each species were taken for calculating the percentage of extrusions. Among 3837 ganglionic cells 99 cells with extruded nucleoli were obtained, with mean value of 2.58. (was the average percentage of the total cases).

Extrusion may involve only a single nucleolus, in case of multiple nucleoli, there may be one or two nucleoli extruded. Segmentation or fission of the nucleolus has been observed, and in such cases, with one segmented portion extruded, the other portion may remain within the nucleus. Occasionally, a fine filamentous material may be seen between the two segments.

Possibilities of attributing nucleolar extrusions to artifacts or technical procedure can be ruled out by the fact that the directions of extrusions demonstrated are not always coincident with those of sectioning, and may even be directly opposed.

The nucleolar extrusion is believed to be a spontaneous process initiated by the nerve cell itself. It probably represents a kind of nucleocytoplasmic exchange and may play an important role in the protein synthesis of the nerve cells.

左肺上叶的支气管和血管

人体解剖学教研組

裴正礼

远在1685年 Isbrandi de Diemerbroeck 即粗略地敍述过支气管树的分支，并繪了图。十九世紀后期 T. Aeby 用金属鑄型法，从比較解剖学的观点研究了支气管树的分支型。W. His 研究了支气管树的胚胎发生。W. Ewart 专门研究了人类支气管树分支的特征，并強調支气管树的解剖学在病理过程和临床診斷上的重要性。第二次世界大战前后，Glass結合临床事实，創立了支气管肺段学說。Kramer和Glass、A. F. Foster—Carter、R. C. Brock 以及其它人，不只研究支气管肺段，而且用色液注射、吹气等方法确定支气管肺段在肺表面的境界，并致力于名詞的統一。近年来，除从已积累的資料整理成专著以外，如E. A. Boyden、G. I. Birnbaum、江家元等人；并从事支气管肺段的X 線解剖学的研究，如F. Kováts—jr—Z. Zsebök，王云剑等人。

本文除对人的左肺上叶支气管肺段的解剖学提供一些資料外，着重观察了：①可以用作肺段表面境界的肺裂；②段与亚段支气管的行径和通气区；③支气管、动脉与靜脈变異的相互关系。

材 料 与 方 法

用下述方法对75例不同年龄的左肺上叶标本进行了观察：

1、解剖标本43例均系得自教学用屍体。

2、鑄形标本23例*：死后1—3日新鮮屍体，就原位用1%氯水溶液冲洗肺，灌注10%福馬林固定后。用100c.c丙酮溶解15克賽璐珞之不同色采溶液，分別注入动脉、靜脈和支气管，共注4—5次后，放入浓盐酸或硫酸中腐蝕之。

3、有色胶液注射合併解剖7例，合併吹气干燥2例：将肺連同心脏由新鮮屍体中分离出，用前法冲洗后。以100c.c.水溶解9—10克明胶及碘化鉀2克之各种色采溶液，分別注入各肺段支气管。如果再用真空气泵吹气12小时左右，便可使标本干燥。

观 察

一、左肺上叶支气管

左肺上叶有三个面：①纵隔面前下部有心包压迹，迹向后上續于主动脈弓压迹。鎖

* 本文所用部分鑄型标本系宋景民同志制作，特致謝意。

骨下沟由弓压迹向上，沟后界为锁骨下嵴。嵴后为后纵隔面，依次接气管、食管与胸椎体。②肋面接肋。③斜裂面接下叶之同名面，其最下部出现小的膈面者占88%。

分隔三面的四緣是：①前緣界于肋面与纵隔面間，上始于肺尖以下之尖前切迹，下终于小舌尖。前緣常有（88%）一最凸出之处称前緣角，角下为解剖学心切迹。②后緣鈍圆，肋面与纵隔面在此移行。③肋下緣在肋面与斜裂面間。④纵隔下緣分隔纵隔面与斜裂面，其上部有肺門切迹，下部为舌系带。此外，界于斜裂面最上部、后纵隔面及后肋面間的鈍嵴为后嵴。

（甲）支气管的行径、常见分支型及通气区（图3）

左肺上叶支气管由左肺支气管前外发出，在肺門內二分歧为上区（S）和下区或舌区（I或L）的占73例之90.41%。

S有42.46%二分歧为尖后（B¹⁺³）和前（B²）段支气管。B¹⁺³在肺門上緣約中点处入肺，但分为前（B¹）和后（B³）亚段支气管者仅15.07%，其余27.39%因B³之支B^{3b}下移而成B^{1+a,b}型。B¹在主动脉弓压迹深侧向上微内行，其尖支（B^{1a}）在锁骨下沟深侧向后上布于肺尖；前支（B^{1b}）行向尖前切迹。B³几平行于斜裂面向后上，其尖支（B^{3a}）布于斜裂面最上小区、肺尖以下之后纵隔面及后肋面，有时也扩及肺尖下部；后支（B^{3b}）布于斜裂面約上1/3及隣接之肋面。

B²向前不远即分为后（B^{2a}）与前（B^{2b}）支者有27.39%，余15.07%为B^{2a}缺如或移位。B^{2a}几水平向后外布于斜裂面中1/3的上分；B^{2b}于肺門前上角附近入肺，对肺前緣分出上（B^{2b1}）和下（B^{2b2}）两亚支，布于肺前緣上1/2—3/4間的纵隔与肋面。

I于肺門前緣約中点处入肺，分为上（B⁴）与下（B⁵）两舌段支气管者78.08%，B⁴的后支（B^{4a}）向外后布于斜裂面中1/3的下分；前支（B^{4b}）向肺前緣又分为上（B^{4b1}）和下（B^{4b2}）两亚支，布于前段下界以下肺前緣的上1/2—2/3間的纵隔和肋面。B⁵向下分为上（B^{5a}）和下（B^{5b}）两支，布于小舌、膈面及斜裂面下1/3。

（乙）左肺上叶支气管分支型的变異

上叶支气管三分歧占9.59%，全因第一型B²分裂（见后）形成（图7、9）。

S異常二分歧23.29%，其中有12.33%因B¹之分裂支B^{1b}移位于B²或BX²而成为B^{1+a,b}，B²（或BX²）+BX^{1b}型。

S三分歧34.25%，因B^{3b}移到S而形成者17.82%；因B²的分裂支B^{2a}移到S而形成者9.59%（图6）；B^{3b}与B^{2a}合干形成S三分歧之一支者4.11%。

BX^{1b} 26.03%，即B¹之分裂支B^{1b}移位于B²或BX²上，但B^{1b}仍达正常通气区。

B¹（Med.）12.33%和B¹（lat.）28.77%，由B¹干内、外側发出之内和外側亚支，其中7例同时具有此二支。

B³分裂与B^{3b}下移64.39%，B³的两个支B^{3a}与B^{3b}分裂后，B^{3b}即沿B¹⁺³干和S下移，其中37.73%B^{3b}下移到B¹⁺³干上，属常见型。剩余的則属变異，又有两型：①B^{3b}单独或与B^{2a}合干成为S三分歧之一支；②B^{3b}下移到S干上，仅有2.73%（图5）。

B²分裂，有二型：①B²分裂为恒常具有B^{2a}的固有B²及一个副支BX²（图5、7、9），有16.44%。由于BX²的出现，遂引起B²不同程度之向下移位：微下移而仍在S

上者4.11%；下移至S与I之中央或附近（B²开口偏于S与I开口之间峰的任一侧在0.3cm以下），形成上叶支气管三分歧的有9.59%（其中一例之B^{2a}移位于I）；下移到I上者2.74%。②B^{2a}与B^{2b}分裂有24.66%。分裂后之B^{2a}可在两个方向上移位：13.70%向上移到S上；10.96%向下移到I上（即BX^{2a}）。

B²（lat.），几乎所有例（除2例无，4例胶液注射标本无法观察外）之B²分支上有此外侧亚支。它可发自B^{2a}（31.89%），或B^{2a}存在时作为B^{2b}向外侧发出之第一支（或为BX²或B^{2b}分支之支，共34.79%，图7、13），B^{2a}缺如时，则B²（lat.）出现于B^{2a}之处（30.44%，图12）。其通气区在前为B^{2b}、后为B³、上为B¹和下为B⁴（或与B^{2a}）之间的肋面。

B^{2a}缺如32.89%，此时其通气区可以下述方法之一被补充：由B^{3b}（4例）或B^{4a}（12例）扩大补充；由二者同时扩大补充（6例）。

BX^{4a}有20.55%，为B^{4a}由B⁴分裂出来后移位到I上，是下区支气管的常见变異。此外，仅见一例I三分歧为B^{2b}，B^{2a}，B⁴⁺⁵型。

（丙）支气管肺段在肺表面境界之变化与肺裂（图1）

经解剖观察，并与有色胶液注射合併解剖标本对照，发现纵隔面胸膜下有三个潜在裂（可名为裂1、2、3）分隔段或亚段。裂与段或亚段间静脉基本一致，含有丰富的结缔组织。此外，解剖学心切迹内常更有两个小切迹（可名为第一、二切迹）可作为分隔段或亚段的标志。

前段上界在尖前切迹附近者69.86%，因有BX^{1b}而扩大至肺尖锁骨下沟者26.03%，另4.11%系异常扩大。前段下界为第一切迹（约在肺前缘中点处）者58%；在前缘角附近者30%。其中86%并有裂2作为前段下界。此裂始于肺门前缘中、上1/3交点附近，于肺前缘切过第一切迹或前缘角达肋面，裂内含V^{2b}。此外，于40%的例可见分隔B^{2b1}与B^{2b2}之裂1，裂始于肺门前及上缘交角附近，在前缘角以上不远处（肺前缘由向前转向下之角的附近）切过前缘至肋面，裂内含V^{2a}。

上舌段下界为第二切迹（在第一切迹以下之肺前缘约中点处）者72%；为裂3者78%。裂3由肺门前缘约中点处向前下行，在第二切迹或小舌紧上切过肺前缘至肋面，裂内含V^{4b}。

下舌段下界（舌系带）一般终于肺门下角或附近。就其对下肺静脉关系言，平下肺静脉或附近者71.74%；在静脉至膈面间距离中点以上者15.22%，以下或在膈面者各6.52%。

如果B^{2a}（包括BX^{2a}）存在，则有32%的斜裂面之供给为：上1/3 B^{3b}；中1/3 B^{2a}及B^{4a}；下1/3 B⁵。

B^{3a}伸入肺尖后下部者14%，其中一例达肺尖最高点。

分隔左肺上、下叶之斜裂完全融合（仅于舌系带处现极浅之裂痕）者仅2%，发生不同程度融合者52%。

二、左肺上叶动脉

左肺动脉由肺动脉干发出后，向左外后微上，在肺支气管外侧跨过左上肺静脉及上

叶支气管，立即转向下横过上叶支气管后外侧进入叶间裂，伴随下叶支气管后外侧入下叶。按其与上叶叶支气管的关系可分为三段（图18）：未跨过上叶支气管以前为前部，围绕于上叶支气管上方为弓，进入叶间裂内为叶间部。

从左肺动脉三段发出供给左肺上叶的分离动脉有3—6支，其出现率依次为：4支42.81%，5支33.33%，3支14.20%，6支9.66%。但这些动脉往往密集于前部及叶间部，甚至融合成有足够的长度（0.3cm以上）的干。通常由供给前段和尖后段动脉的全部或一部分合成前干（14.31%）或上干（1.59%）；供给前段的后亚段动脉A^{2a}或AX^{2a}，与A⁴⁺⁵合为一干（15.87%）。

前段的动脉数依次为：2支52.38%，1支42.86%，3支4.76%。

就其起源言，则1支的全系前源，2支全为前源的4.76%，兼有前及叶源的47.61%；3支的全兼有前及叶源。47.61%全部前源的例中，A^{2a}与A^{2b}均前源者14.29%。余为B^{2a}缺如，A^{2b}前源。兼有二源的例中，除一例A²叶源而AX²前源外，均为A^{2b}前源，A^{2a}或AX^{2a}叶源。A^{2a}或AX^{2a}独立地发自叶间部为26.97%（表1），与A⁴⁺⁵或A⁴合干者23.83%。

表1 兼有前及叶源的前段动脉之起源

| 作 者 | Boyden | 江家元 | 鍾世鎮等 | 本 文 |
|---|--------|-----|------|--------|
| 例 数 | 50 | 75 | 50 | 63 |
| (1) A ^{2b} 前源， A ^{2a} 或 AX ^{2a} 叶源 | 46% | | 48% | 50.8% |
| *A ^{2a} 与A ⁴⁺⁵ 或A ⁴ 合干 | 12% | 12% | | 23.83% |
| *A ^{2a} 在A ⁴⁺⁵ 根部 | 14% | 8% | | 11.10% |
| A ^{2a} 临近A ³ | | 10% | | 4.76% |
| **A ^{2a} 与A ^{3b} 合干 | 6% | 28% | | 1.59% |
| A ^{2a} 平A ⁶ 或微下 | 12% | | | 9.52% |
| 其 它 | 2% | | | |
| (2) AX ² 前源， A ² 叶源 | | | | 1.59% |

*其中有6例A^{2a}有两支：A^{2b}+A^{2a}前干，A^{2a}叶源者5例；另一例A^{2a}之一支发自前干的A⁴⁺⁵，另一支为叶源。

**A^{2a}有二支：一支与A^{3b}共干，一支发自A⁴。

11例BX²的动脉（AX²）均为前干，但独立发出的为5例，其余则分别与A^{2b}（4例）或A^{1a}（2例，图18）合干。

尖后段的动脉数：2支41.26%，3支39.76%，1支12.71%，4支6.34%。

二支以上分离供应尖后段的动脉可归纳为五型：①独立起源的A¹与A³，19.05%，②独立起源的A¹、A^{3a}与A^{3b}，20.64%，③独立起源的A^{1a}、A^{1b}或AX^{1b}与A³，6.34%（图18），④独立起源的A^{1a}、A^{1b}或AX^{1b}、A^{3a}与A^{3b}，6.34%，⑤A¹与A³的支组合成非典型合干：A^{1b}或AX^{1b}，A^{1a+3a}，A^{3b}型者12.71%，A^{1+3a}，A^{3b}型者17.45%，

A_{1b} , A_{1a+3} 型者 4.76%。

尖亚段的动脉前源 49.20%，弓源 36.51%， A_{1b} 或 A_{1b} 前源而 A_{1a} 弓源 14.30%。后亚段的动脉弓源 69.86%，叶源 3.17%，兼有弓及叶源 23.81%，前及弓源 3.17%。

独立起源于 A^3 与 A^3b 在左肺动脉上的始点不恒定，如果以叶间部发出之第一支 A^6 为标志，则其起点之变化见表 2。

尖后段接受来自其它段或亚段的小动脉支而形成跨段供应现象者 33.39%，其中尖、后二亚段间跨段供应者 15.90%，前段动脉分支到后亚段的 7.95%， A^{4+5} 支至后亚段的 6.36%，前段动脉分支到尖亚段的 3.18%。

上、下舌段动脉合为 A^{4+5} 一干者 57.14%，为两个分离的动脉者 42.87%。按动脉的起源于可分为三型：①全为叶源 71.43%（ A^{4+5} 占 47.61%，两个分离的动脉占 23.82%），②全为前源 11.12%（ A^{4+5} 占 9.53%，两个分离的动脉占 1.59%），③兼有叶及前源 17.46%，其中 A^4 前源而 A^5 叶源者 9.53%， A^4b 与 A^5 前源而 A^4a 叶源者 6.34%， A^4b 前源而 A^4a 与 A^5 叶源者 1.59%。此外， A^5 还有下述跨段现象： A^5 来自下叶的 A^{7+8} 有 15.9%， A^5 发自 A^4a 或 A^4b 分别有 15.90% 和 3.18%。

表 2 A^3 与 A^3b 起点之变化

| 作 者 | Aoyden | 江家元 | 本 文 |
|---------------------------|--------|-----|--------|
| 例 数 | 50 | 75 | 63 |
| (1) A^3 之起始 | 54% | | 25.41% |
| 从弓上缘（距 A^6 在 0.8cm 以上） | 2% | | 12.79% |
| 从弓上后缘（距 A^6 在 0.3cm 以内） | 42% | | 9.53% |
| 从弓后面（平 A^6 ） | 8% | | 3.17% |
| 从 A^6 | 2% | | |
| (2) A^3b 之起始 | 42% | 40% | 57.13% |
| 从弓上缘及上后面 | 30% | | 30.15% |
| 平 A^6 | 10% | 10% | 20.64% |
| 从 A^6 | 2% | 14% | 3.17% |
| 从叶源之 A^4 或 A^{4+5} | | | |
| 从前源之 A_{1b} | | | 3.17% |

三、左肺上叶静脉

引流左肺上叶各段血液的静脉进入肺门后，在上叶及上区支气管前内、左肺动脉弓之下汇为上肺静脉（图 19），单独地或与左下肺静脉合干后注入左房。

由于前段的静脉 V^2 与 VX^2 汇入上肺静脉之方式不同，遂形成上肺静脉的不同汇合型（表 3）：①二支型 35%，以 V^2 全部汇入 V^{1+3} （18.33%）或 V^{4+5} （6.67%）者较为常见。②三支型 45%， V^2 全部在 V^{1+3} 与 V^{4+5} 间汇入上肺静脉者多见（21.67%）。③放射型 20%，由于 V^2 与 VX^2 （图 20）或 V^2 与 V^5 （或 V^5b ）分离地注入上肺静脉而形成。

尖后段靜脈依据V³回流入上肺靜脈之路径不同而分为三型：①經B¹或B^{1a}外側之V^{3a+b}与經B¹或S外側之V^{3c}合成V³后，經A²或A^{2b}內側至B²或B^{2b}內側与V¹汇合，注入上肺靜脈，此型占53.33%。②B^{2a}缺如或出现 BX^{2a}时，则V³經過B^{2b}外側並在其下方汇入V^{2c}，此型有20%。③与第二型不同的是V³分裂为V^{3a}（或V^{3a+b}）与V^{3b+c}（或V^{3c}）二支，前者循第一型之径与V¹合干；后者循第二型之径汇入V^{2c}，此型有21.67%（图20）。另有5%（3例）B²成分完全，但V¹⁺³回流分属第二型（1例）和第三型（2例）。此外，在第二、三型中V¹与V^{3a+b}或V^{3a}合干者25.01%，与V^{2a}合干者10.01%，直接注入上肺靜脈者11.65%。

表3 左上肺靜脈之汇合型

| 作 者 | Aoyden | 江家元 | 鍾世鎮等 | 本 文 | |
|--|--------|----------|----------|--------|-----|
| 例 数 | 50 | 75 | 50 | 60 | 图 号 |
| (1) 上肺靜脈二支型 | | 34% | 18±5.43% | 35% | |
| V ² 連于下区靜脈 | 6 % | 8 % | | 6.67% | |
| V ² 連于V ¹⁺³ | 26% | 26% | | 18.33% | |
| (Va ² 与V ^{2b+c} 分 离注入V ¹⁺³) | (12%) | | | (10%) | |
| V ² 与VX ² 分別注入 V ¹⁺³ 及V ⁴⁺⁵ | | | | 3.33% | |
| V ^{2a} 与V ^{2b+c} 分別注 入V ¹⁺³ 及V ⁴⁺⁵ | 10% | | | 6.67% | |
| (2) 上肺靜脈三支型 | | 34% | 60±6.93% | 45% | |
| V ² 在V ¹⁺³ 及V ⁴⁺⁵ 間 注入上肺靜脈 | 36% | | 40±6.93% | 21.67% | |
| V ^{2a} 注入V ¹⁺³ ， V ² b+c注入上肺靜脈 | 22% | | | 16.66% | |
| V ² 与V ⁴ 或VX ² +V ⁴⁺⁵ 合干为上肺靜脈中支 | | | | 6.67% | |
| (3) 上肺靜脈放射型 | | 22±5.86% | | 2 % | |
| V ² 与VX ² 分离注入上 肺靜脈 | | | | 8.33% | 20 |
| V ² 与V ⁵ 或V ^{5b} 分离注 入上肺靜脈 | | | | 6.67% | |
| V ² 与V ^{2b+c} 分离注入 上肺靜脈 | | | | 3.33% | |
| 上肺靜脈由分离的 V ¹ , V ^{2a} , V ^{2b+c} , V ⁴ , V ⁵ 汇成 | | | | 1.67% | |

V⁴与V⁵合干的56.67%的例中，除1.67%汇入下肺靜脈外，余均汇入上肺靜脈。V⁴与V⁵分离者23.33%，V^{4+5a}与V^{5b}分离者20%。其中V⁵和V^{5b}注入下肺靜脈的 分別为